

Modélisation par champ de phase de la fissuration des matériaux fragiles: aspects numériques et applications au combustible nucléaire oxyde et au béton

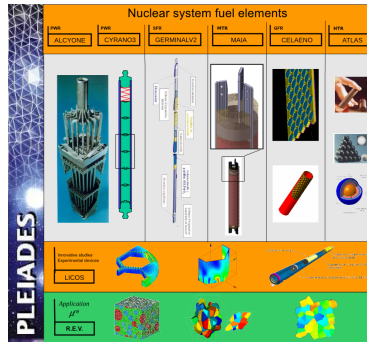
Club Utilisateurs Cast3M | THOMAS HELFER,
BENOÎT BARY, TRAN THANG DANG, OLIVIER
FANDEUR, RÉMY CNOQUART

25 NOVEMBRE 2016

Contexte

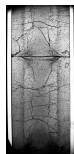
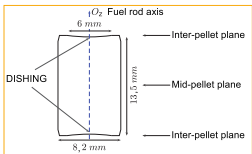
- Contexte
- Modélisation de la fissuration par champ de phase
- Une première implantation dans Cast3M
- Implantation dans Cast3M : 2 algorithmes implicites
- Vérifications
- Exemples d'applications
- Conclusions et perspectives

La plate-forme PLEIADES



- une grande variété de matériaux et de phénomènes mécaniques :
 - céramiques, métaux, composites
 - **fissuration**, comportement viscoplastique, gonflement sous irradiation, transitions de phases, etc.
- une large gamme de sollicitations

Fissuration de la pastille combustible : que de phénomènes en 4 mm !



- fragmentation en début de vie : rupture fragile
- fissuration périphérique secondaire en rampe de puissance
- croissance de porosité (en situation incidentelle)
- décohésion des joints de grains (en situation incidentelle)
- écoulement viscoplastique

Les besoins côté combustible



- Nous souhaitons disposer d'un modèle :
 - permettant de décrire la formation réseau de fissures fragiles
 - compatible avec la thermodynamique
 - couplée à un écoulement viscoplastique
 - pouvant être utilisé en grandes transformations
 - insensible à la discrétisation E.F. (orientation des mailles) et permettant d'utiliser des éléments finis quadratiques
 - efficace numériquement

Les besoins côté béton

On s'intéresse à la modélisation et à la simulation des microfissures dans le béton.

- ❑ Etude numérique à l'échelle mésoscopique du béton sous chargements mécanique + température + humidité.
- ❑ Effet des granulats, des auréoles de transition.

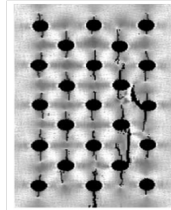


Fig 1. Microfissures en compression.

Ref: Nguyen et al. 2015.

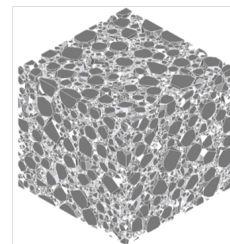


Fig 2. VER du béton en 3D.

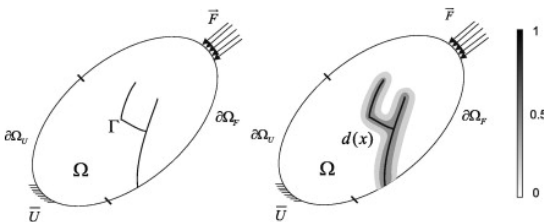
Ref: Bary Benoît 2016.

Modélisation de la fissuration par champ de phase

Bibliographie

- MARIGO, J.-J. *l'endommagement et la rupture : hier, aujourd'hui et demain*. IPSI : Comportements non linéaires des matériaux, 2000.
- BOURDIN, Blaise, FRANCFORT, Gilles A. et MARIGO, Jean-Jacques. Numerical experiments in revisited brittle fracture. *Journal of the Mechanics and Physics of Solids* [en ligne]. Avril 2000. Vol. 48, n° 4, pp. 797-826.
DOI 10.1016/S0022-5096(99)00028-9. Disponible à l'adresse :
<http://www.sciencedirect.com/science/article/pii/S0022509699000289>
- MIEHE, Christian, HOFACKER, Martina et WELSCHINGER, Fabian. A phase field model for rate-independent crack propagation : Robust algorithmic implementation based on operator splits. *Computer Methods in Applied Mechanics and Engineering* [en ligne]. 15 novembre 2010. Vol. 199, n° 45, pp. 2765-2778. DOI 10.1016/j.cma.2010.04.011. Disponible à l'adresse : <http://www.sciencedirect.com/science/article/pii/S0045782510001283>
- NGUYEN, T. T., YVONNET, J., ZHU, Q. -Z., BORNERT, M. et CHATEAU, C. A phase field method to simulate crack nucleation and propagation in strongly heterogeneous materials from direct imaging of their microstructure. *Engineering Fracture Mechanics* [en ligne]. Mai 2015. Vol. 139, pp. 18-39. DOI 10.1016/j.engfracmech.2015.03.045. Disponible à l'adresse :
<http://www.sciencedirect.com/science/article/pii/S0013794415001332>

Représentation en volume d'une fissure : lissons la discontinuité géométrique



$$\gamma(d) = \frac{d^2}{2l} + \frac{l}{2} \vec{\nabla}d \cdot \vec{\nabla}d$$

- l est une longueur caractéristique :
 - plus l est petit, plus la singularité associée à une fissure est marquée
- $\gamma(d)$ représente la densité volumique de fissure

Expression de l'énergie libre Ψ

$$\Psi = (m(d) + k) \Psi^+ + \Psi^- + g_c \gamma(d)$$

- Ψ^+ et Ψ^- sont respectivement l'énergie de déformation liée à la traction et à la compression :

$$\begin{cases} \Psi^+ = 2\mu \left\langle \underline{\epsilon}^{el} \right\rangle_+ : \left\langle \underline{\epsilon}^{el} \right\rangle_+ + \lambda \left\langle \text{tr } \underline{\epsilon}^{el} \right\rangle_+^2 \\ \Psi^- = 2\mu \left\langle \underline{\epsilon}^{el} \right\rangle_- : \left\langle \underline{\epsilon}^{el} \right\rangle_- + \lambda \left\langle \text{tr } \underline{\epsilon}^{el} \right\rangle_-^2 \end{cases}$$

- $m(d) = (1 - d)^2$
- g_c est l'**énergie de surface** dissipée par la propagation de fissure.
- k est une constante $\ll 1$.

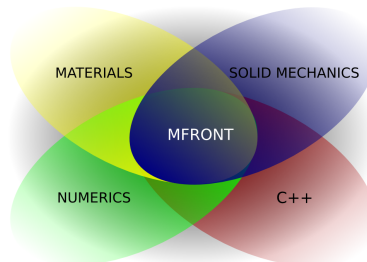
Évolution de l'endommagement

- Utilisation de l'inégalité de Clausius-Duhem pour vérifier que la dissipation mécanique est possible.
- Choix d'une évolution de l'endommagement et traitement de l'irréversibilité de l'endommagement :

$$\frac{g_c}{I} \left[d - I^2 \Delta d \right] = 2 (1 - d) H$$

avec $H(x, t) = \max_{\tau \in [0, t]} \Psi^+(x, \tau)$

Implantation dans Cast3M



- Implantation de la loi de comportement : MFront
<http://tfel.sourceforge.net>
- Une procédure mécanique et un opérateur d'intégration dédiés à PLEIADES : INCREPL et COPL
 - Support de la matrice tangente cohérente
 - Support des lois non locales

2 algorithmes : notations

- Si Δd est connu, l'incrément de déplacement s'obtient par la résolution de l'équilibre :

$$\Delta \vec{u} = \mathcal{L}_d (\vec{u}|_t, d|_t, \Delta d)$$

- Si $\Delta \vec{u}$ est connu, l'incrément d'endommagement s'obtient par la résolution de l'équation de phase-field Δd :

$$\Delta d = \mathcal{L}_u (\vec{u}|_t, d|_t, \Delta \vec{u})$$

- La solution quasi-statique est le couple $\Delta \vec{u}, \Delta d$ qui vérifie **simultanément** les deux équations :

$$\begin{cases} \Delta \vec{u} = \mathcal{L}_d (\vec{u}|_t, d|_t, \Delta d) \\ \Delta d = \mathcal{L}_u (\vec{u}|_t, d|_t, \Delta \vec{u}) \end{cases}$$

2 algorithmes : notations

- Si Δd est connu, l'incrément de déplacement s'obtient par la résolution de l'équilibre :

$$\Delta \vec{u} = \mathcal{L}_d (\vec{u}|_t, d|_t, \Delta d)$$

- Si $\Delta \vec{u}$ est connu, l'incrément d'endommagement s'obtient par la résolution de l'équation de phase-field Δd :

$$\Delta d = \mathcal{L}_u (\vec{u}|_t, d|_t, \Delta \vec{u})$$

- La solution quasi-statique est le couple $\Delta \vec{u}, \Delta d$ qui vérifie **simultanément** les deux équations :

$$\begin{cases} \Delta \vec{u} = \mathcal{L}_d (\vec{u}|_t, d|_t, \Delta d) \\ \Delta d = \mathcal{L}_u (\vec{u}|_t, d|_t, \Delta \vec{u}) \end{cases}$$

- $\Delta \vec{u}$ est obtenu par un algorithme itératif :

$$\Delta \vec{u}^{n+1} = \mathbb{K}^{-1} (\vec{u}|_t, d|_t, \Delta \vec{u}^n, \Delta d) \cdot \mathcal{R} (\vec{u}|_t, d|_t, \Delta \vec{u}^n, \Delta d)$$

2 algorithmes de la littérature

- Miehe et al. :

$$\begin{cases} \Delta d = \mathcal{L}_u \left(\vec{u}|_t, d|_t, \Delta \vec{0} \right) \\ \Delta \vec{u} = -\mathbb{K}^{-1} \left(\vec{u}|_t, d|_t, \vec{0}, \Delta d \right) \cdot \mathcal{R} \left(\vec{u}|_t, d|_t, \vec{0}, \Delta d \right) \end{cases}$$

- NGuyen et al. :

$$\begin{cases} \Delta d = \mathcal{L}_u \left(\vec{u}|_t, d|_t, \Delta \vec{0} \right) \\ \Delta \vec{u} = \mathcal{L}_d \left(\vec{u}|_t, d|_t, \Delta d \right) \end{cases}$$

**Une première
implantation dans
Cast3M**

Mise en œuvre

Schéma par incrémentation avec un petit pas de temps: $\delta t = t^{n+1} - t^n$.

Etape initiale: Initialisation $\mathbf{u}_0(\mathbf{x}) = \mathbf{0}$, $d_0(\mathbf{x}) = 0$, $\mathcal{H}_0(\mathbf{x}) = 0$.

Etape n:

$\boldsymbol{\varepsilon}_n(\mathbf{u})$, d_n connus

↓ MFRONT

$$\mathcal{H}_n = \max\{\psi_{n-1}^+, \psi_n^+\}$$

↓ CAST3M, COPL

Résolution d'un **problème thermique** pour d_{n+1}

↓ MFRONT

Construction des matrices $\mathbf{P}_n^+, \mathbf{P}_n^-, \mathbf{K}_n$

↓ CAST3M, COPL

Résolution d'un **problème mécanique** pour \mathbf{u}_{n+1}

LINEAIRE

Mise en œuvre

Schéma par incrémentation avec un petit pas de temps: $\delta t = t^{n+1} - t^n$.

Etape initiale: Initialisation $\mathbf{u}_0(\mathbf{x}) = \mathbf{0}$, $d_0(\mathbf{x}) = 0$, $\mathcal{H}_0(\mathbf{x}) = 0$.

Etape n:

$\boldsymbol{\varepsilon}_n(\mathbf{u})$, d_n connus

↓ MFRONT

$$\mathcal{H}_n = \max\{\psi_{n-1}^+, \psi_n^+\}$$

↓ CAST3M, COPL

Résolution d'un **problème thermique** pour d_{n+1}

↓ MFRONT

Construction des matrices $\mathbf{P}^+_n, \mathbf{P}^-_n, \mathbf{K}_n$

↓ CAST3M, COPL

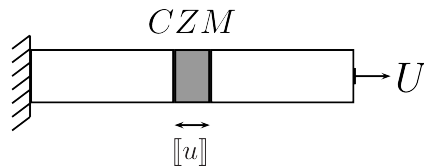
Résolution d'un **problème mécanique** pour \mathbf{u}_{n+1}

LINEAIRE

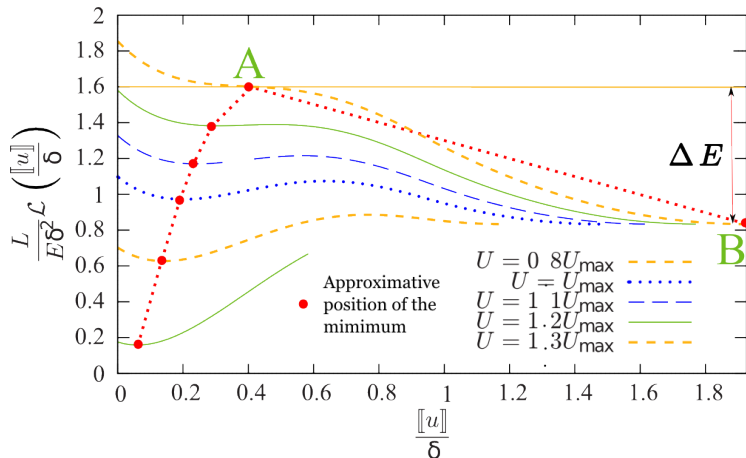
- de belles vidéos...

- dépendance des résultats au pas de temps

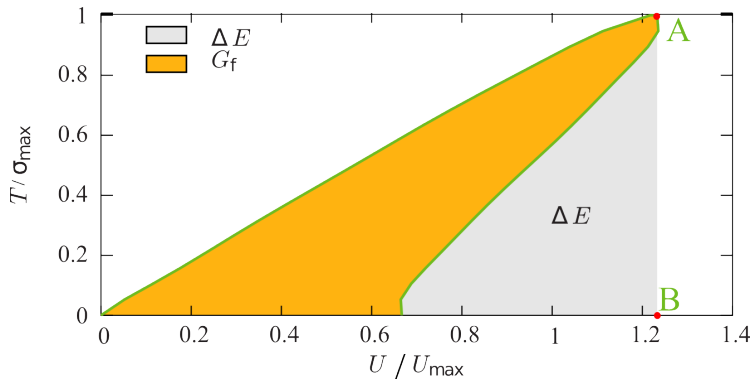
Propagation instable en quasi-statique



Propagation instable en quasi-statique



Propagation instable en quasi-statique



Implantation dans Cast3M : 2 algorithmes implicites

$$\begin{cases} \Delta d^{n+1} = \mathcal{L}_u (\vec{u}|_t, d|_t, \Delta \vec{u}^n) \\ \Delta \vec{u}^{n+1} = -\mathbb{K}^{-1} (\vec{u}|_t, d|_t, \Delta \vec{u}^n, \Delta d^{n+1}) \cdot \mathcal{R} (\vec{u}|_t, d|_t, \Delta \vec{u}^n, \Delta d^{n+1}) \end{cases}$$

■ Modification mineure d'INCREPL :

- On résoud l'équation de phase-field avant l'intégration de la loi de comportement.
- On converge sur l'équilibre.
- L'opérateur de recherche \mathbb{K} le plus efficace est l'opérateur sécant.
- On dispose de tout l'arsenal de Cast3M :
 - accélération de convergence
 - convergence forcée

Second algorithme

$$\begin{cases} \Delta d^{n+1} = \mathcal{L}_u (\vec{u}|_t, d|_t, \Delta \vec{u}^n) \\ \Delta \vec{u}^{n+1} = \mathcal{L}_d (\vec{u}|_t, d|_t, \Delta d^{n+1}) \end{cases}$$

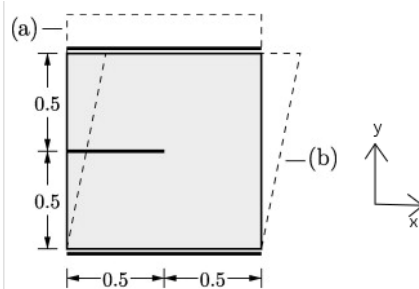
- On résoud la mécanique à endommagement constant :
 - convergence quadratique avec l'opérateur sécant !
- On réalise un point fixe sur l'endommagement :
 - On arrête quand l'endommagement est stationnaire :

$$\delta^n \Delta d = \Delta d^{n+1} - \Delta d^n < \varepsilon_d$$

- La convergence sur Δd peut être accélérée
- Cette approche ne fonctionne pas...

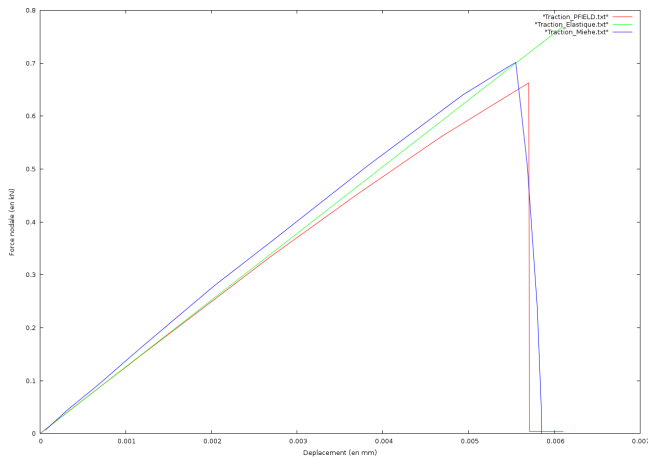
Vérifications

Cas test de Miehe en traction et en cisaillement

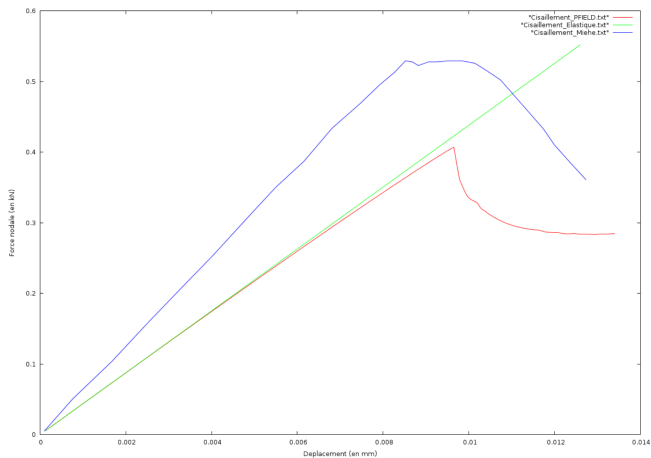


- Représentation du cas test de Miehe (a) en traction et (b) en cisaillement.
- On considère que la ligne du bas est encastrée et que la ligne du haut subit un déplacement uniforme selon (a) U_y ou (b) U_x .

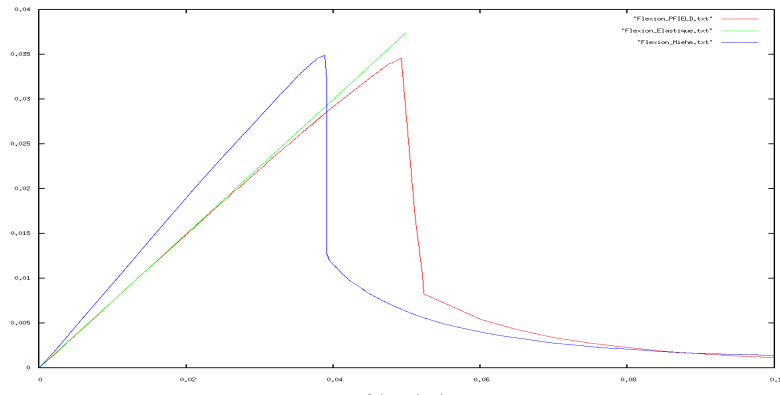
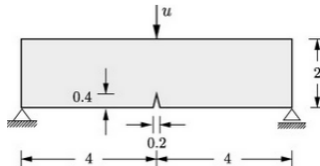
Résultats en traction



Résultats en cisaillement

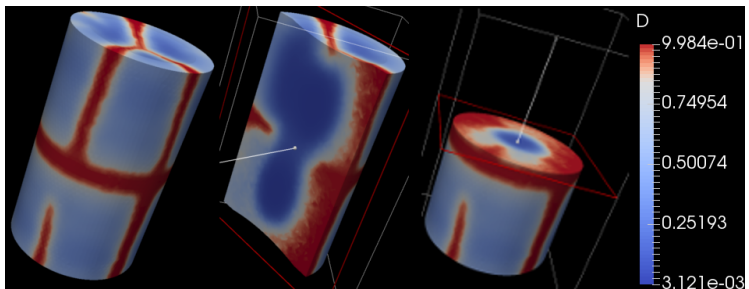


Cas test de Miehe en flexion 3 points

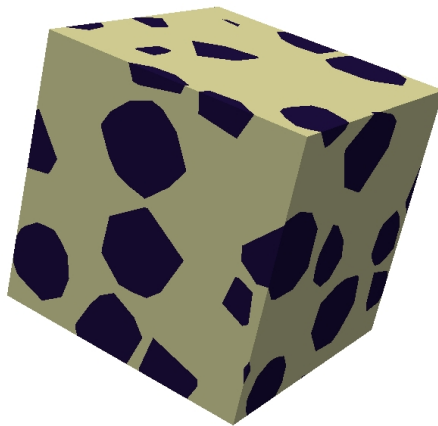


Exemples d'applications

Fissuration de la pastille combustible



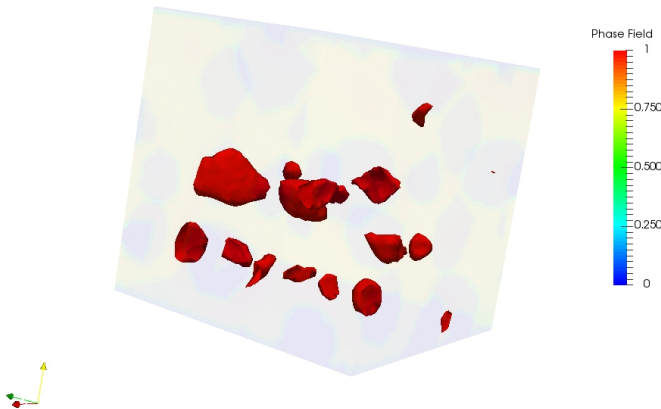
Application aux bétons : traction d'un VER



Application aux bétons : traction d'un VER



Application aux bétons : compression d'un VER

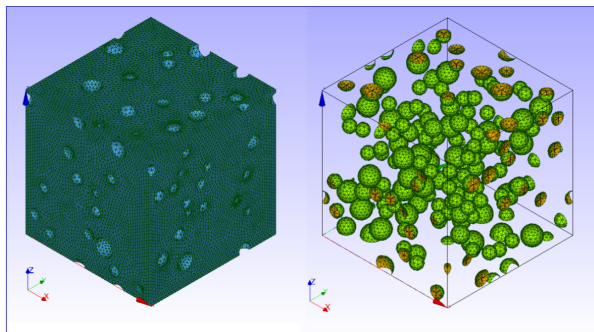


Conclusions et perspectives

Conclusions sur l'implantation actuelle

- la structure de Cast3M permet d'implanter les approches par champ de phase :
 - de manière très simple
 - sans aucun développement spécifique
 - en testant différents algorithmes numériques
- nous avons une solution fonctionnelle :
 - mais les performances sont encore à améliorer

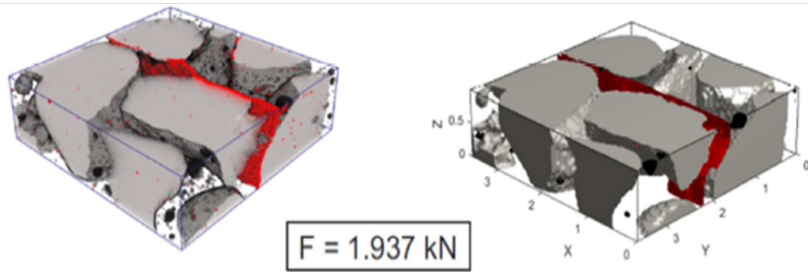
Application aux microstructures HBS



- fragmentation du combustible nucléaire sous l'effet des bulles de produits de fissions gazeux en situation incidentelle
- travaux de Coralie Esnoul

Application à des microstructures réelles

Référence: Comparaison entre la simulation et l'essai expérimental (Nguyen et al. 2015)



Fissuration dans un béton 3D: l'essai expérimentale (gauche)
et la simulation numérique (droite).

20 millions d'éléments

Merci pour votre attention !

Commissariat à l'énergie atomique et aux énergies alternatives
Centre de Cadarache | DEN/DEC/SESC b151 - 13108 Saint-Paul-Lez-Durance
T. +33 (0)4.42.25.23.66 | F. +33 (0)4.42.25.47.47
Établissement public à caractère industriel et commercial | RCS Paris B 775 685 019

Direction de l'Énergie Nucléaire
Département d'Études des Combustibles
Service d'Études et de Simulation du
comportement des Combustibles